

ОСОБЕННОСТИ МАГНИТНЫХ, ГАЛЬВАНОМАГНИТНЫХ, УПРУГИХ И МАГНИТОУПРУГИХ СВОЙСТВ МАНГАНИТОВ $\text{Sm}_{1-x}\text{Sr}_x\text{MnO}_3$

A. И. Абрамович*, Л. И. Королева**, А. В. Мичурин

*Московский государственный университет им. М. В. Ломоносова
119992, Москва, Россия*

Поступила в редакцию 5 февраля 2002 г.

В системе $\text{Sm}_{1-x}\text{Sr}_x\text{MnO}_3$ ($x = 0.33, 0.4$ и 0.45) обнаружены колоссальные величины отрицательных магнитосопротивления $\Delta\rho/\rho$ и объемной магнитострикции ω вблизи точки Кюри T_C . У соединения с $x = 0.33$, состоящего по данным нейтронной дифракции из односвязной ферромагнитной матрицы, в которой расположены кластеры со слоистой антиферромагнитной структурой *A*-типа, изотермы $\Delta\rho/\rho$, ω и намагниченности σ имеют плавный характер и не насыщаются вплоть до максимальных полей измерения 120 кЭ. В то же время у соединений с $x = 0.4$ и 0.45 , содержащих кроме перечисленных выше фаз, еще и зарядово-упорядоченную антиферромагнитную фазу *CE*-типа, которая термически разрушается при более высоких температурах, чем антиферромагнитная *A*-типа и ферромагнитная фазы, на перечисленных изотермах при $T \geq T_C$ имело место скачкообразное возрастание в области полей от H_{c1} до H_{c2} , после чего на них достигалось насыщение. При $H_{c1} < H < H_{c2}$ обнаружена метастабильность σ , ω и $\Delta\rho/\rho$. Анизотропная магнитострикция меняет знак в указанном температурном интервале, что свидетельствует о перестройке кристаллической структуры. Обнаруженные во всех исследованных соединениях при $T \geq T_C$ колоссальные величины ω и $\Delta\rho/\rho$, излишнее, по сравнению с линейным, тепловое расширение и максимум на кривой $\rho(T)$ объясняны наличием электронного фазового разделения, вызванного сильным *s-d*-обменом. Колossalные магнитосопротивление и объемная магнитострикция, достигающая примерно 10^{-3} , вызваны увеличением объема ферромагнитной фазы, индуцированной магнитным полем. В соединении с $x = 0.33$ это увеличение плавное, так как оно происходит путем «прорастания» ферромагнитной фазы по ферромагнитным слоям антиферромагнитной фазы *A*-типа. В соединениях с $x = 0.4$ и 0.45 увеличение объема ферромагнитной фазы происходит и за счет зарядово-упорядоченной фазы с *CE*-типом антиферромагнитной структуры, в которой спины соседних ионов марганца антиферромагнитно упорядочены. Обнаруженные скачки на кривых $\sigma(H)$, в результате которых намагниченность достигает примерно 70 % от значения σ при $T = 1.5$ К, указывают на то, что переход зарядово-упорядоченной фазы в ферромагнитное состояние имеет пороговый характер. Таким образом, колоссальные величины ω и $\Delta\rho/\rho$ в данном случае присущи ферромагнитному состоянию, возникшему в результате индуцированного магнитным полем перехода зарядово-упорядоченной фазы в ферромагнитное состояние, а не ее плавления.

PACS: 75.50.Pp, 72.20.My, 75.80.+q

1. ВВЕДЕНИЕ

Интерес к мanganитам связан, прежде всего, с колоссальным магнитосопротивлением, наблюдавшимся в части из них при комнатных температурах, что делает возможным их применение в различ-

ных сенсорных устройствах. Изучению различных свойств мanganитов посвящено большое количество работ, описанных в обзора [1–12]. Колossalное магнитосопротивление, как правило, наблюдается в области температуры разрушения магнитоупорядоченного состояния с отличной от нуля спонтанной намагниченностью. Нами [13–18] было обнаружено, что в соединениях $\text{La}_{1-x}\text{Sr}_x\text{MnO}_3$ ($0.1 \leq x \leq 0.3$) и $\text{Sm}_{0.55}\text{Sr}_{0.45}\text{MnO}_3$ колоссальное магнитосопротивле-

*E-mail: avramovich@ofef343.phys.msu.ru
**E-mail: koroleva@ofef343.phys.msu.ru

ние сопровождается большой отрицательной объемной магнитострикцией порядка 10^{-4} – 10^{-3} , что делает возможным применение мanganитов в различных магнитомеханических устройствах. В первой системе наблюдалась корреляция между магнитосопротивлением и объемной магнитострикцией: уменьшение величины указанных эффектов с ростом x и отсутствие насыщения на их изотермах вплоть до максимальных полей измерения около 120 кЭ, в то время как насыщение на изотермах намагниченности достигалось уже в поле H , меньшем чем 10 кЭ. Это явление было объяснено сосуществованием в кристаллах ферромагнитных (ФМ) и антиферромагнитных (АФМ) фаз, при этом носители заряда (дырки в данном случае) сосредоточены в ФМ-фазе. Этот тип магнитно-двуихфазного состояния, вызванного сильным s - d -обменом, описан в обзора [1, 2] и статье [19]. Следует заметить, что понятие температуры Кюри для образца, находящегося в этом состоянии, весьма условно.

Однако в системе $\text{Sm}_{1-x}\text{Sr}_x\text{MnO}_3$ при $x = 0.5$ существует зарядовое упорядочение. С помощью изучения данных нейтронной дифракции при $1.5 \text{ K} \leq T \leq 300 \text{ K}$ в соединении $^{154}\text{Sm}_{0.6}\text{Sr}_{0.4}\text{MnO}_3$ обнаружены кластеры трех типов: ферромагнитного, антиферромагнитного A -типа и зарядово-упорядоченного с CE -типом антиферромагнитной структуры [20], а также установлено, что АФМ-упорядочение A -типа исчезает выше 120 К, а зарядовое упорядочение наблюдается еще при 150 К и отсутствует при 180 К. Спонтанный магнитный момент появляется при $T_C \approx 110 \text{ K}$, при этой же температуре на температурной зависимости удельного электросопротивления ρ наблюдается максимум и при $T < T_C$ — металлический тип проводимости. При 180 К имел место скачок на температурной зависимости энергии активации проводимости, который в соединениях с зарядовым упорядочением обычно связывают с его термическим разрушением. Перечисленные величины T_C , T_N , и температура разрушения зарядового упорядочения T_{co} близки к полученным в [21] на основе изучения электронной и нейтронной дифракции и температурной зависимости намагниченности. В работах [20, 22, 23] было показано, что в соединениях с $x = 0.25$ и 0.4 в низкотемпературной области сосуществуют ФМ-кластеры размером 180–250 Å и несколько тысяч ангстрем. По данным работы [20], в соединении с $x = 0.25$ зарядово-упорядоченные кластеры отсутствуют. Авторы работы [24] на основании изучения второй гармоники восприимчивости предположили, что в парамагнитной (ПМ) фазе развиваются

АФМ-корреляции со слабой ФМ-компонентой и существуют зарядово-упорядоченные АФМ-области размером в сотни ангстрем. Последний из перечисленных кластеров термически разрушается значительно выше температуры Кюри.

Таким образом, магнитная структура системы $\text{Sm}_{1-x}\text{Sr}_x\text{MnO}_3$ более сложная, чем в $\text{La}_{1-x}\text{Sr}_x\text{MnO}_3$. В системе $\text{Sm}_{1-x}\text{Sr}_x\text{MnO}_3$ при x близких к 0.5 в отличие от $\text{La}_{1-x}\text{Sr}_x\text{MnO}_3$ существуют зарядово-упорядоченные кластеры и термическое разрушение зарядового упорядочения в них происходит при более высоких температурах, чем термическое разрушение магнитного порядка в ферромагнитной и антиферромагнитных A -типа частях образца. Между тем в обеих системах вблизи T_C наблюдались колоссальное магнитосопротивление и большая объемная магнитострикция (следует заметить, что магнитострикция в системе $\text{Sm}_{1-x}\text{Sr}_x\text{MnO}_3$ была изучена нами только для соединения с $x = 0.45$ [16–18]). В работах [13–18] мы сделали предположение, что колоссальное магнитосопротивление и большая объемная магнитострикция объясняются одной и той же причиной: возрастанием под действием магнитного поля ФМ-части кристалла, в которой сосредоточены носители заряда. Однако было неясно, за счет каких частей образца происходит это возрастание. Как будет показано в разд. 3 данной статьи, в соединениях с $x = 0.4$ и 0.45 системы $\text{Sm}_{1-x}\text{Sr}_x\text{MnO}_3$ колоссальное магнитосопротивление и большая объемная магнитострикция имеют место и в высокотемпературной области, где уже произошло термическое разрушение магнитного порядка в ферромагнитных и антиферромагнитных A -типа частях образца, но еще существует зарядово-упорядоченное состояние в части образца.

Цель данной работы следующая. На основе комплексного изучения намагниченности, парамагнитной восприимчивости, теплового расширения, магнитострикции, электросопротивления и магнитосопротивления соединений с $x = 0.33$, 0.4 и 0.45 системы $\text{Sm}_{1-x}\text{Sr}_x\text{MnO}_3$ выявить особенности перечисленных свойств, вызванные присутствием зарядово-упорядоченных кластеров. Для этой цели система $\text{Sm}_{1-x}\text{Sr}_x\text{MnO}_3$ очень удобна, так как в ней в соединениях с $x = 0.4$ и 0.45 имеются зарядово-упорядоченные кластеры, причем при $T \geq T_N$ только они еще обладают магнитным порядком, тогда как в ферромагнитных и антиферромагнитных A -типа фазах магнитный порядок уже разрушен нагреванием. Соединение с $x = 0.33$ отличается от соединений с $x = 0.4$ и 0.45 тем, что в нем заря-

дово-упорядоченные кластеры отсутствуют [21]. Во всех трех соединениях $T_C < T_N$. Таким путем будет выяснено, каким образом (скачкообразно или плавно) происходит рост объема ФМ-фазы за счет зарядово-упорядоченной и антиферромагнитной *A*-типа фаз в отдельности. Полученные результаты объясняются с помощью теоретических работ Нагаева [2] и Даготто с соавт. [3].

2. ЭКСПЕРИМЕНТАЛЬНЫЕ МЕТОДИКИ

Исследуемые образцы системы $\text{Sm}_{1-x}\text{Sr}_x\text{MnO}_3$ были приготовлены и проанализированы О. Ю. Горбенко и А. Р. Каулем. Ими использовалась стандартная керамическая технология. Фазовый состав и параметры решетки контролировались с помощью рентгеновского дифрактометра Siemens D5000. Образцы представляют собой однофазные перовскиты с орторомбической структурой (группа *Pnma*) и следующими постоянными решетками при $T = 300$ К: $a = 5.424(1)$ Å, $b = 7.678(2)$ Å, $c = 5.434(2)$ Å для $x = 0.45$ и $a = 5.436(2)$ Å, $b = 7.679(4)$ Å, $c = 5.459(2)$ Å для $x = 0.33$. Параметр орторомбичности, вычисленный из постоянных решетки, равен 0.2 %, что указывает на близость к кубической структуре. Однофазность полученных керамик была также подтверждена методом рамановской спектрометрии при использовании спектрометра с тройным монохроматором Jobin-Yvon T64000: наблюдались фононные моды, характерные только для орторомбических мanganитов с *Pnma*-симметрией.

Измерения намагниченности в температурном интервале 1.5–300 К в магнитных полях до 130 кЭ проводились с помощью вибрационного магнитометра. Начальная магнитная восприимчивость в переменном магнитном поле частоты 0.8–8 кГц измерялась феррометром Ф-5063, а парамагнитная восприимчивость — весовым методом с электромагнитной компенсацией. Электросопротивление было измерено четырехточечным методом. Магнитострикция и тепловое расширение в температурном интервале 4.2–300 К измерялись с помощью тензодатчиков с сопротивлением 92.30 ± 0.01 Ом и коэффициентом тензочувствительности 2.26. Один датчик наклеивался на образец, а второй — на кварц. В процессе измерений датчики на образце и на кварце были ориентированы одинаково по отношению к магнитному полю. Измерялась продольная ($\lambda_{||}$) и поперечная (λ_{\perp}) составляющие магнитострикций, а затем рассчитывались объемная $\omega = \lambda_{||} + 2\lambda_{\perp}$ и анизотропная $\lambda_t = \lambda_{||} - \lambda_{\perp}$ части магнитострикций. Измерения

теплового расширения и магнитострикции в сильных импульсных магнитных полях для соединений с $x = 0.33$ и 0.45 были выполнены в лаборатории Р. Ибарры (Сарагосский университет, Испания).

3. ЭКСПЕРИМЕНТАЛЬНЫЕ РЕЗУЛЬТАТЫ

3.1. Магнитные свойства

Для всех соединений изученных составов на температурной зависимости начальной магнитной восприимчивости $\chi(T)$, измеренной в переменном магнитном поле частоты 8 кГц, наблюдается максимум в области низких температур ($T < 50$ К) и резкое убывание при более высоких температурах (рис. 1a). Точки Кюри соединений были определены как тем-

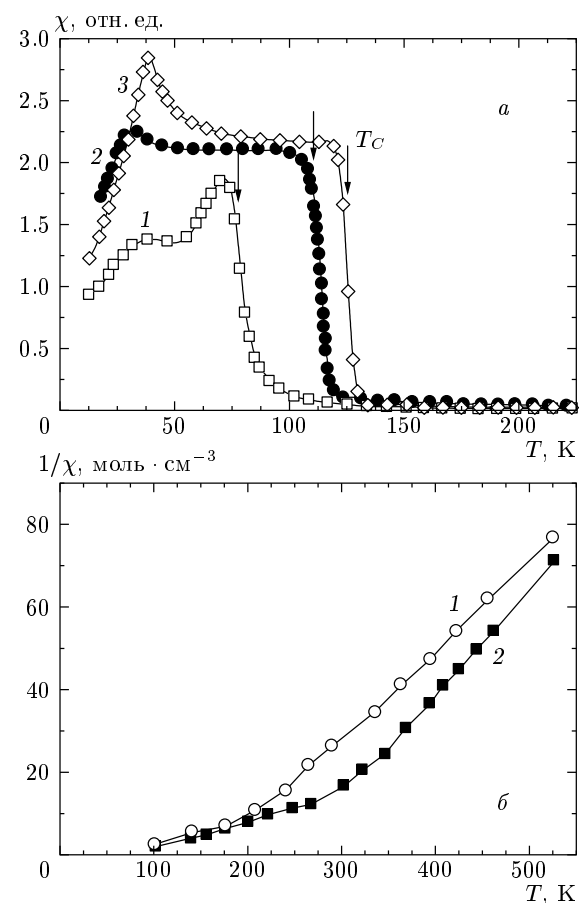


Рис. 1. a) Температурная зависимость начальной магнитной восприимчивости в переменном магнитном поле 1 Э частоты 8 кГц соединений с $x = 0.33$ (кривая 1), 0.40 (2), 0.45 (3). б) Температурная зависимость парамагнитной восприимчивости соединений с $x = 0.33$ (кривая 1) и 0.45 (2)

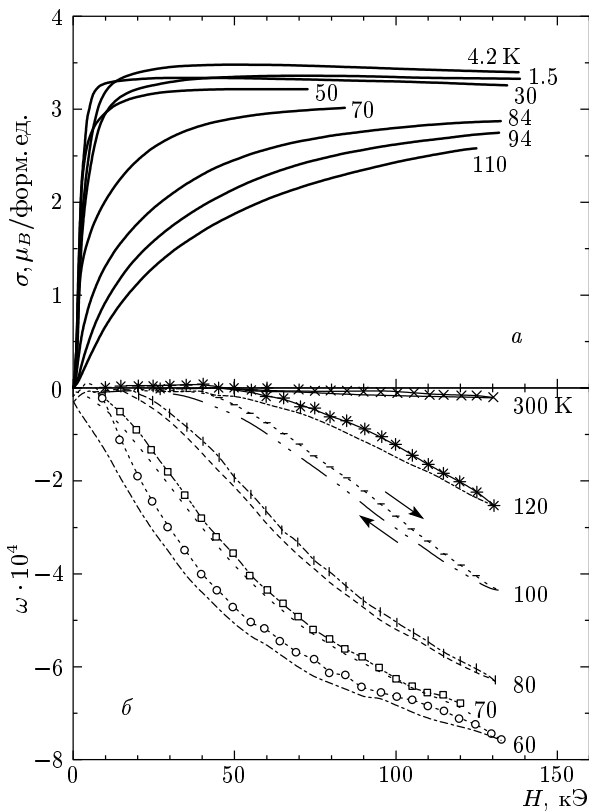


Рис. 2. Изотермы намагниченности (*а*) и объемной магнитострикции (*б*) соединения с $x = 0.33$, полученные при увеличении и уменьшении поля (показано стрелками)

пературы минимумов на кривых $(d\chi/dT)(T)$ и оказались равными 79, 112 и 126 К соответственно для соединений с $x = 0.33, 0.40, 0.45$. Эти значения близки к полученным в работах [20, 21] и ссылках к ним. Следует отметить, что температура низкотемпературного максимума практически не зависит от x и вполне возможно, что этот максимум связан с возрастанием магнитной анизотропии в ФМ-и АФМ-кластерах в магнитно-двухфазном состоянии. Парамагнитная восприимчивость соединений всех составов следует закону Кюри–Вейсса в области температур выше примерно $2T_C$ (рис. 1 β) с ПМ-температурами Кюри $\theta = 175, 194, 250$ К соответственно для $x = 0.33, 0.40$ и 0.45 . В температурном интервале $T_C < T < 2T_C$ имеет место отклонение от закона Кюри–Вейсса. На рис. 2 a и 3 a представлены изотермы намагниченности $\sigma(H)$ соединений с $x = 0.33$ и $x = 0.45$. Кривые $\sigma(H)$ для соединения с $x = 0.4$ очень похожи на показанные на рис. 3 a . Видно, что в области температур ниже T_C кривые $\sigma(H)$ не имеют особенностей

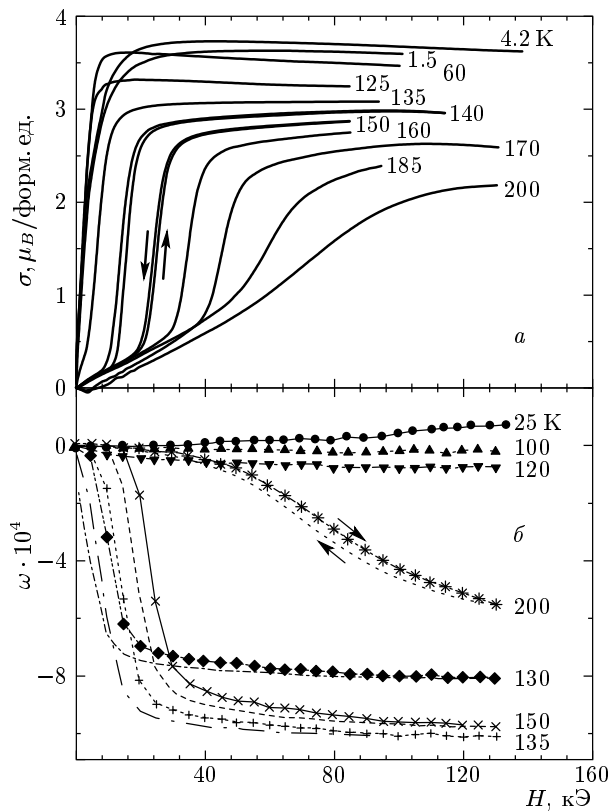


Рис. 3. Изотермы намагниченности (*а*) и объемной магнитострикции (*б*) соединения с $x = 0.45$, полученные при увеличении и уменьшении поля (показано стрелками)

и насыщение на них достигается при $H \leq 30$ кЭ. Спонтанный магнитный момент, определенный экстраполяцией кривых $\sigma(H)$ к нулевому полю при 1.5 К, близок к значениям, ожидаемым при полном ФМ-упорядочении магнитных моментов ионов Mn^{3+} и Mn^{4+} в соединениях этих составов. Существенно различается вид изотерм намагниченности для соединений различных составов при $T \geq T_C$. Так, для $x = 0.45$ и 0.40 наблюдается скачкообразное возрастание намагниченности в некотором интервале полей $H_{c1} < H < H_{c2}$ (рис. 3 a). Температурная зависимость полей H_{c1} и H_{c2} представлена на рис. 4, на котором видно, что эти поля увеличиваются с ростом температуры по линейному закону. В области скачка на кривых $\sigma(H)$ наблюдается гистерезис, который уменьшается с ростом температуры. Как видно на рис. 2 a , для соединения с $x = 0.33$ таких скачков на кривых $\sigma(H)$ не имеется.

Температурные зависимости намагниченности соединений этих же составов в различных магнитных полях представлены на рис. 5 a, b . При

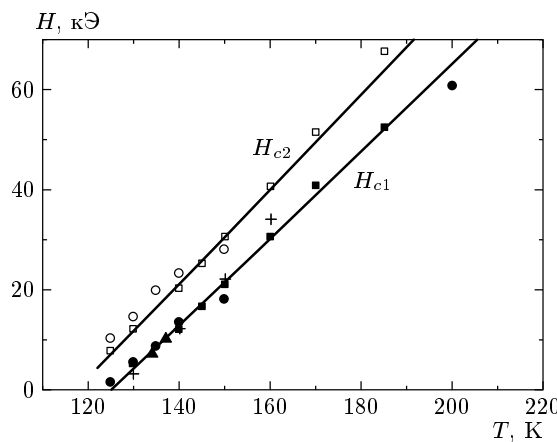


Рис. 4. Температурная зависимость критических полей H_{c1} и H_{c2} для соединения с $x = 0.45$. Критические поля, полученные из измерений намагнитенности, обозначены \square ■, магнитострикции — \circ ●, магнитосопротивления — \blacktriangle ; поля H_{c1} , определенные из измерений магнитосопротивления в работе [27] (рис. 4), обозначены +

понижении температуры для соединения с $x = 0.45$ имеет место резкое возрастание намагнитенности вблизи T_C в магнитных полях до 20 кЭ. В более сильных полях этот переход размывается. Кривые $\sigma(T)$ в разных магнитных полях для соединения с $x = 0.4$ очень похожи на показанные на рис. 5а. Для $x = 0.33$ переход вблизи T_C размыт во всем интервале магнитных полей (рис. 5б).

3.2. Упругие и магнитоупругие свойства

На рис. 6а представлены температурные зависимости линейного теплового расширения $\Delta L/L(T)$ для соединений всех изученных составов. Видно, что вблизи T_C происходит резкое изменение $\Delta L/L$ для соединений с $x = 0.40$ и 0.45 и более плавное — для $x = 0.33$. При этом изменение объема для соединений первых двух составов очень велико: $\Delta V/V = 3 \cdot \Delta L/L \approx 0.1\%$. Наложение магнитного поля приводит к подавлению скачка на кривых $\Delta L/L(T)$ и отрицательной магнитострикции. Для соединений всех составов наблюдается значительный температурный гистерезис $\Delta L/L$ в районе T_C .

На рис. 2б и 3б представлены изотермы объемной магнитострикции $\omega(H)$ для соединений с $x = 0.33$ и 0.45, а на рис. 5б, г и 6б, в — температурные зависимости объемной $\omega(T)$ и анизотропной $\lambda_t(T)$ частей магнитострикции для соединений этих же составов. Кривые $\omega(H)$, $\omega(T)$ и $\lambda_t(T)$ для $x = 0.40$ очень похо-

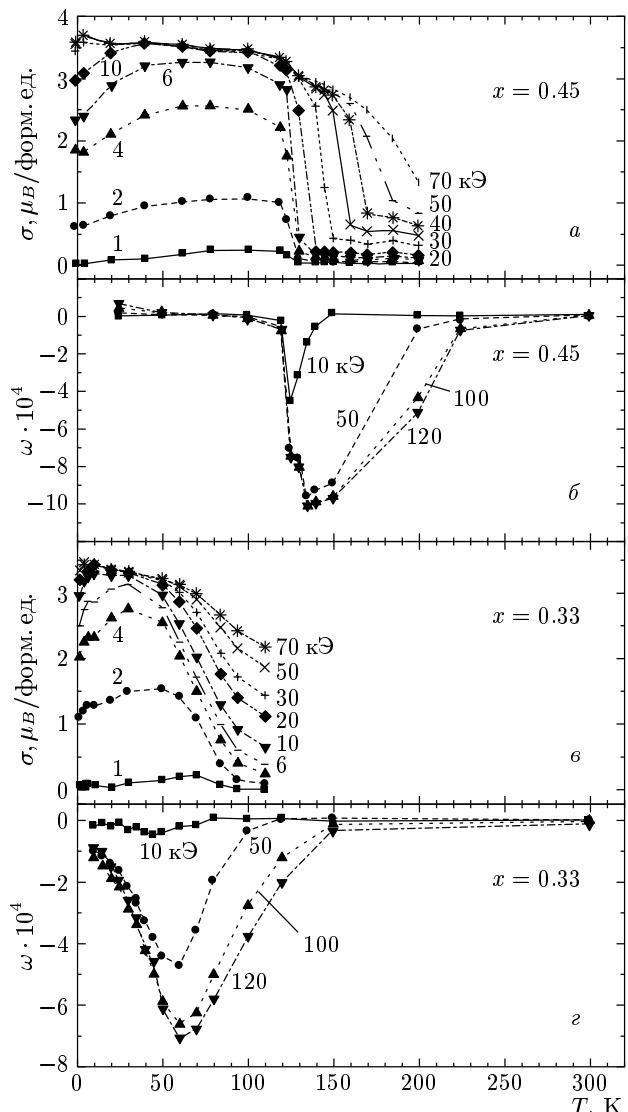


Рис. 5. Температурная зависимость намагнитенности (а, б) и объемной магнитострикции (б, г) в различных магнитных полях

жи на показанные на рис. 3б, 5б и 6б для $x = 0.45$. Как видно на рис. 3б, в районе T_C у соединения с $x = 0.45$ изменяется форма кривых $\omega(H)$, а именно, на них появляются скачки; эти скачки наблюдаются примерно при одних и тех же значениях магнитного поля при близких температурах, что и скачки на кривых $\sigma(H)$ (рис. 3а). Как видно на рис. 4, на котором показаны температурные зависимости критических полей H_{c1} и H_{c2} , определенных из измерений намагнитенности и магнитострикции, точки удовлетворительно ложатся на прямые линии. В районе T_C кривые $\omega(H)$ насыщаются в магнитных полях около 40 кЭ, а при увеличении и уменьшении магнит-

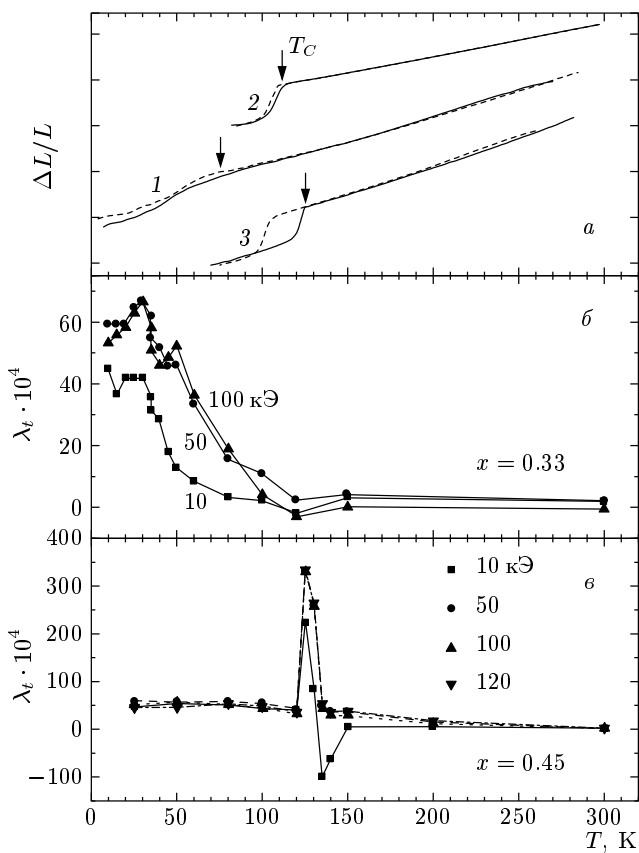


Рис. 6. а) Температурная зависимость линейного теплового расширения соединений с $x = 0.33$ (кривая 1), 0.40 (2), 0.45 (3). Одно деление соответствует $5 \cdot 10^{-4}$. Сплошная линия соответствует нагреванию, штриховая — охлаждению образца. б) Температурная зависимость анизотропной части магнитострикции в различных магнитных полях

нога поля наблюдается гистерезис объемной магнитострикции. Для соединений с $x = 0.40$ и 0.45 объемная магнитострикция отрицательна во всем исследованном температурном интервале и очень мала по абсолютной величине, за исключением узкого интервала вблизи T_C , где зависимость $\omega(T)$ проходит через минимум (рис. 5б). При этом в минимуме $|\omega|$ достигает гигантской величины, равной $5 \cdot 10^{-4}$ в поле $H = 0.84$ кЭ и 10^{-3} в поле $H = 50$ кЭ для $x = 0.45$. Примерно таких же значений $|\omega|$ достигает и для $x = 0.40$. Как видно на рис. 6б, анизотропная магнитострикция λ_t этих составов мала и практически постоянна во всей температурной области за исключением узкого интервала вблизи T_C , где она увеличивается в несколько раз и меняет знак в магнитных полях $0 < H < 2$ кЭ: ниже T_C она положительна, выше T_C — отрицательна. При $H > 20$ кЭ на зависи-

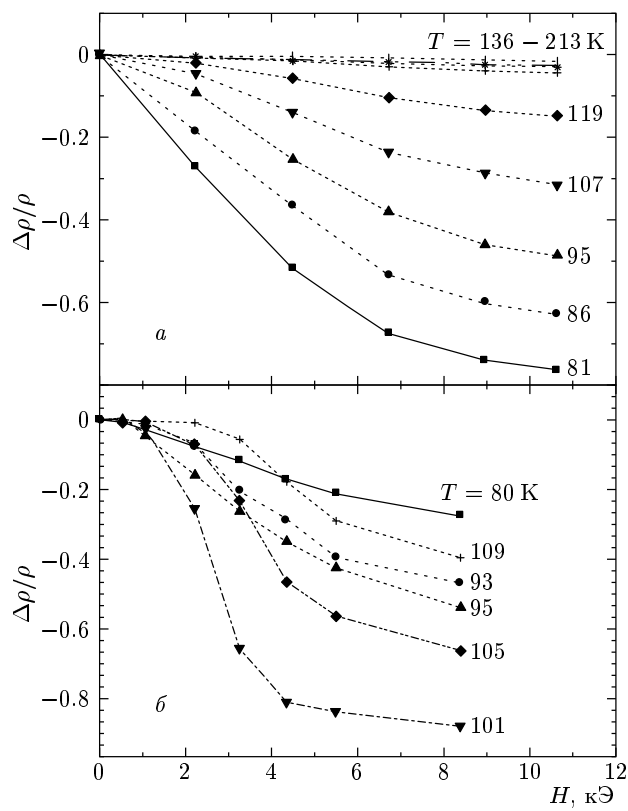


Рис. 7. Изотермы магнитосопротивления соединений с $x = 0.33$ (а) и $x = 0.40$ (б)

симости $\lambda_t(T)$ наблюдается максимум в T_C .

Иное поведение показывают кривые $\omega(H)$, $\omega(T)$ и $\lambda_t(T)$ для соединения с $x = 0.33$ (рис. 2б, 5г, 6б). Так, изотермы объемной магнитострикции далеки от насыщения во всей исследованной области температур, хотя насыщение изотерм намагниченности происходит уже в полях $H \leq 30$ кЭ. Отрицательная объемная магнитострикция наблюдается не только вблизи, но и во всем температурном интервале ниже T_C . Кривые $\omega(T)$ проходят через минимум несколько ниже T_C и $|\omega|$ достигает максимальной величины порядка $7 \cdot 10^{-4}$ в полях 120 кЭ (рис. 5г). Его λ_t положительна во всей исследованной температурной области и в районе T_C проходит через максимум, после чего достаточно быстро убывает до нуля (рис. 6б).

3.3. Электрические и гальваномагнитные свойства

Вблизи температуры T_C для соединений всех изученных составов наблюдается максимум на кривой $\rho(T)$, причем величина ρ в максимуме изменяется на несколько порядков по сравнению с ве-

личиной ρ при низких температурах. В области низких температур зависимость $\rho(T)$ имеет вид, характерный для металлов. Магнитосопротивление $\Delta\rho/\rho = [\rho(H) - \rho(H = 0)]/\rho(H = 0)$ для всех соединений отрицательно во всем исследованном температурном интервале — от $T = 4.2$ К до $T > T_C$, а его абсолютная величина максимальна вблизи T_C . На рис. 7 приводится зависимость $(\Delta\rho/\rho)(T)$ для соединений с $x = 0.33$ и 0.4 . Как видно на рис. 7б, при достижении H_{c1} у соединения с $x = 0.4$ происходит резкое увеличение $|\Delta\rho/\rho|$. То же самое наблюдалось и для соединения с $x = 0.45$. Как видно на рис. 7а, у соединения с $x = 0.33$ магнитосопротивление $|\Delta\rho/\rho|$ плавно увеличивается с ростом поля и на кривых $\Delta\rho/\rho(T)$ не наблюдается насыщения. Следует отметить, что по сравнению с манганитами других редкоземельных металлов (например, лантана, празеодима) магнитосопротивление самариевых манганитов достигает колоссальных величин в относительно слабых магнитных полях. Так, например, в магнитном поле 0.84 кЭ мы обнаружили колоссальное магнитосопротивление, равное 83 %, 72 % и 44 % соответственно для соединений с $x = 0.33, 0.40, 0.45$.

3.4. Нестабильность магнитоупругих свойств

Для соединений с $x = 0.40$ и 0.45 в районе T_C в области критических магнитных полей $H_{c1} < H < H_{c2}$ наблюдается нестабильность магнитных, магнитоупругих и магниторезистивных свойств, которая проявляется в увеличении намагниченности, магнитострикции и магнитосопротивления при выдерживании образца в магнитном поле в процессе увеличения поля от H_{c1} до H_{c2} . При уменьшении поля указанные характеристики ведут себя противоположно. Обнаружено, что изменение магнитострикции со временем следует экспоненциальному закону. Экспериментальные результаты при $H = \text{const}$ (измерения проводились при быстром введении магнитного поля $H = 8.4$ кЭ при различных температурах в районе T_C) хорошо описываются активационным законом $\tau = \tau_0 \exp(E_0/kT)$ с $\tau_0 = 1.4 \cdot 10^{-7}$ с и $E_0/k = 0.17$ эВ. При $T = \text{const}$ в том же интервале полей тоже выполняется активационный закон

$$\tau = \tau_0 \exp [(\mu_0 mH/kT)],$$

а экспериментальные результаты, включающие и температурную, и полевую зависимости магнитострикции, хорошо описываются уравнением

$$\tau = \tau_0 \exp [(\mu_0 mH + E_0)/kT]$$

с $m = 230\mu_B$ и $E_0 = 0.17$ эВ.

4. ОБСУЖДЕНИЕ РЕЗУЛЬТАТОВ

Изучение магнитных, гальваномагнитных, упругих и магнитоупругих свойств системы $\text{Sm}_{1-x}\text{Sr}_x\text{MnO}_3$ ($x = 0.33, 0.4$ и 0.45) в области температур 1.5–300 К и магнитных полей до 130 кЭ показало, что в рассматриваемой системе в области T_C наблюдались излишнее (по сравнению с линейным по T) тепловое расширение образца, достигавшее 0.03 % (рис. 6а), отрицательное колоссальное магнитосопротивление (рис. 7) и большая отрицательная объемная магнитострикция (рис. 2б, 3б, 5б, г), причем на температурной зависимости двух последних имелся максимум. В максимуме абсолютная величина магнитосопротивления при $H = 0.84$ кЭ равна 83 %, 72 % и 44 % соответственно для соединений с $x = 0.33, 0.4$ и 0.45 . Рекордных величин достигала объемная магнитострикция для соединений с $x = 0.45$ и 0.4 : так, в поле равном 0.84 кЭ величина $|\omega| \sim 5 \cdot 10^{-4}$ и в поле 50 кЭ имеем $|\omega| \sim 10^{-3}$. Измерения парамагнитной восприимчивости показали (рис. 1б), что закон Кюри–Вейсса выполняется значительно выше T_C , начиная с $T \approx 2T_C$, что свидетельствует о наличии магнитных кластеров выше T_C .

Поведение намагниченности, теплового расширения, объемной магнитострикции и магнитосопротивления соединения с $x = 0.33$ очень похоже на наблюдавшееся некоторыми из нас ранее для системы $\text{La}_{1-x}\text{Sr}_x\text{MnO}_3$ [13–15]: отсутствует насыщение на кривых $\Delta\rho/\rho(H)$ и $\omega(H)$ вплоть до максимальных полей измерения $H = 130$ кЭ, тогда как насыщение на кривых $\sigma(H)$ достигается уже при $H \sim 20$ кЭ (рис. 2, 7а). Перечисленные особенности объясняются с помощью электронного фазового разделения, вызванного сильным $s-d$ -обменом. Соединение с $x = 0.33$ состоит из односвязной проводящей ФМ-фазы, в которой располагаются изолирующие АФМ-кластеры A-типа. Здесь имеет место проводящее магнитно-двухфазное состояние, вызванное сильным $s-d$ -обменом, которое описано в обзорах [1, 2]. Для этого магнитно-двухфазного состояния характерно резкое увеличение удельного электросопротивления в области точки Кюри. Здесь имеются два механизма, по которым примесно-магнитное взаимодействие влияет на сопротивление: рассеяние носителей заряда, уменьшающее их подвижность, и образование хвоста их зоны, состоящего из локализованных состояний. В области точки Кюри происходит резкое уменьшение подвижности носителей заряда и их частичная локализация в хвосте зоны, что и объясняет максимум на кри-

вой $\rho(T)$ вблизи T_C . Под действием магнитного поля происходит делокализация носителей заряда из хвостов зоны, что и приводит к колоссальному магнитосопротивлению. Яназе и Касуя [19] показали, что в ФМ-части такого магнитно-двуихфазного образца параметры решетки уменьшены, поэтому при нагревании образца до температур, превышающих температуру Кюри T_C , происходит расширение образца. Наложение магнитного поля при $T \geq T_C$ увеличивает степень ФМ-порядка вблизи примесей (ионов Sr в данном случае) сильнее, чем в среднем по кристаллу, так как его действие усиливается *s-d*-обменом, т. е. магнитное поле восстанавливает разрушенную нагреванием ФМ-фазу и свойственное ей сжатие образца. Следует уточнить, что температура Кюри для образца, находящегося в магнитно-двуихфазном состоянии, есть температура термического разрушения ФМ-фазы. Кроме того, как указывалось выше, отличный от нуля близкий ФМ-порядок вблизи примесей существует и при более высоких температурах. Подчеркнем, что приведенное выше объяснение колоссального магнитосопротивления, большой объемной магнитострикции, максимума ρ и излишнего теплового расширения вблизи T_C связано с изменением объема ФМ-фазы, происходящим под действием магнитного поля или температуры. Указанное изменение в соединении с $x = 0.33$ системы $\text{Sm}_{1-x}\text{Sr}_x\text{MnO}_3$ происходит плавно. По-видимому, это связано с тем, что рост объема ФМ-фазы здесь идет за счет АФМ-кластеров *A*-типа, имеющих слоистую АФМ-структуру, состоящую из ФМ-упорядоченных подрешеток, моменты которых упорядочены антиферромагнитно. Рост объема ФМ-фазы здесь происходит путем ее «прорастания» по ФМ-плоскостям АФМ-фазы.

Поведение изотерм намагниченности, объемной магнитострикции и магнитосопротивления у соединений с $x = 0.4$ и 0.45 иное, чем в соединении с $x = 0.33$. Как указывалось во Введении, в соединениях двух первых составов, в отличие от соединения с $x = 0.33$, присутствуют зарядово-упорядоченные кластеры, которые термически разрушаются при более высоких температурах, чем проводящая односвязная ФМ-фаза и АФМ-кластеры *A*-типа, лишенные носителей заряда. Как видно на рис. 3 и 7б, при $T \geq T_C$ наблюдается скачкообразное увеличение намагниченности, объемной магнитострикции и магнитосопротивления, происходящее в области критических полей $H_{c1} < H < H_{c2}$, причем значения H_{c1} и H_{c2} увеличиваются с ростом T по линейному закону (рис. 4). В области критических полей указанные характеристики демонстрируют временную ре-

лаксацию. В области скачка на кривых $\sigma(H)$ наблюдается гистерезис, который уменьшается с ростом T . При $H \geq H_{c2}$ на перечисленных выше изотермах имеет место насыщение. Если измерять температуру Кюри путем экстраполяции наиболее крутой части кривой $\sigma(T)$ до ее пересечения с осью T , то определенная таким путем величина T'_C оказывается зависящей от величины магнитного поля, в котором измерена кривая $\sigma(T)$. Для соединений с $x = 0.4$ и 0.45 она растет с полем неравномерно: медленнее в области небольших полей и значительно быстрее в более сильных полях, так что в сумме величина T'_C возрастает приблизительно вдвое в поле 70 кЭ по сравнению с T'_C , определенной из температурной зависимости начальной магнитной восприимчивости (рис. 5а). Для соединения с $x = 0.33$ возрастание T'_C с полем является еще большим и происходит равномерно, так что в сильных полях величину T'_C вообще нельзя определить (рис. 5б). Такая сильная зависимость T'_C от H не свойственна ферромагнетикам. Например, в Gd и CdCr₂Se₄ определенная таким путем величина T'_C в указанном интервале полей возрастает всего на несколько градусов [25]. Из сказанного следует, что понятие температуры Кюри в магнитно-неоднофазных материалах весьма условно.

Даготто с сотр. с помощью численного моделирования показали [3], что в манганитах концентрационный переход при $x = 0.5$ от ферромагнитного к зарядово-упорядоченному состоянию является фазовым переходом первого рода и в соединениях, близких к $x = 0.5$, существуют магнитные кластеры различных типов: ферромагнитного, антиферромагнитных *A*-типа и зарядово-упорядоченного. Ими также рассматривалась возможность односвязной проводящей ФМ-области, в которой располагаются АФМ-кластеры *A*-типа и зарядово-упорядоченные. По-видимому, последний случай реализуется в соединениях с $x = 0.4$ и 0.45 , так как в них имеет место проводимость металлического типа при $T < T_C$, сочетающаяся с высоким уровнем ян-теллеровских искажений марганец-кислородных октаэдров. Так, по данным работы [20] для соединения с $x = 0.4$ величина этих искажений необычайно высока для сильно разбавленной системы ян-теллеровских ионов ($60\% \text{ Mn}^{3+}$); она примерно такая же, как в LaMnO₃ ($100\% \text{ Mn}^{3+}$) [26]. Такие искажения должны вызывать локализацию носителей заряда, однако в Sm_{0.6}Sr_{0.4}MnO₃ наблюдалась проводимость металлического типа ниже T_C . Это возможно лишь в том случае, когда проводимость имеет переколяционный характер и осуществляется по узким перемычкам, окружающим изолирующие кластеры и зани-

мающим значительно меньшую, по сравнению с последними, часть образца. Тогда скачкообразное возрастание на кривых $\sigma(H)$, $|\omega|(H)$ и $|\Delta\rho/\rho|(H)$, а также неравномерность в зависимости $T'_C(H)$ в соединениях с $x = 0.4$ и 0.45 можно связать с переходом зарядово-упорядоченных кластеров в ФМ-состояние под действием магнитного поля. Таким образом, гигантская объемная магнитострикция и колоссальное магнитосопротивление связаны здесь, так же как и в соединении с $x = 0.33$, с ФМ-фазой, появляющейся в результате индуцированного магнитным полем перехода зарядово-упорядоченных кластеров в ФМ-состояние. В зарядово-упорядоченной фазе спины соседних ионов марганца направлены противоположно и ее перевод в ФМ-состояние требует значительно больших затрат энергии, чем в случае фазы с АФМ-упорядочением *A*-типа. Как видно на рис. 3 и 7б, этот переход происходит скачком при достижении порогового поля H_{c1} . Переход под действием поля зарядово-упорядоченных кластеров в ФМ-состояние должен сопровождаться изменением кристаллической структуры в них, что должно сказываться на анизотропной магнитострикции. Действительно, как видно на рис. 6в, в этой температурной области происходит изменение знака λ_t , которое сопровождается особенностями на кривой $\lambda_t(T)$: в области положительных значений λ_t наблюдается максимум, а в области отрицательных значений λ_t — минимум на указанной кривой.

Сильную зависимость $T'_C(H)$ можно объяснить следующим образом. В соединениях с $x = 0.4$ и 0.45 в слабых полях происходит плавное увеличение T'_C за счет восстановления полем разрушенной нагреванием ФМ-фазы путем увеличения ее объема за счет АФМ-кластеров *A*-типа. При достижении поля H_{c1} происходит скачкообразный переход зарядово-упорядоченной фазы в ФМ-состояние. Этот переход является аналогом фазового перехода первого рода, так как в области полей от H_{c1} до H_{c2} наблюдается описанная в разд. 3.1–3.4 метастабильность магнитных, упругих, магнитоупругих, электрических и гальваномагнитных свойств. При дальнейшем увеличении поля термическое разрушение ФМ-фазы замедляется из-за выигрыша в энергии *s-d*-обмена, чем и объясняется плавное увеличение T'_C с ростом H при $H > H_{c2}$. В соединении с $x = 0.33$ плавное возрастание T'_C с ростом H обусловлено не только восстановлением ФМ-фазы магнитным полем, но и «прорастанием» ФМ-фазы по ФМ-подрешеткам АФМ-кластеров *A*-типа.

Таким образом, колоссальное магнитосопротивление, большая объемная магнитострикция, излиш-

нее тепловое расширение в районе T_C в образцах с $x = 0.33$, 0.4 и 0.45 системы $\text{Sm}_{1-x}\text{Sr}_x\text{MnO}_3$ объясняются наличием электронного фазового разделения в образце, вызванного сильным *s-d*-обменом, причем носители заряда сосредоточены в ФМ-фазе. При этом присутствие зарядово-упорядоченных кластеров в соединениях с $x = 0.4$ и 0.45 вносит свою специфику в поведение магнитосопротивления и объемной магнитострикции — наблюдаются скачки на их изотермах, связанные с переходом под действием магнитного поля зарядово-упорядоченных кластеров в ФМ-состояние.

5. ЗАКЛЮЧЕНИЕ

В данной работе на примере системы $\text{Sm}_{1-x}\text{Sr}_x\text{MnO}_3$ ($x = 0.33$, 0.4 и 0.45) выяснено, каким образом зарядовое упорядочение влияет на магнитные, магнитоупругие и гальваномагнитные свойства марганитов. Эта система удобна для указанной цели тем, что в ней соединения с $x = 0.4$ и 0.45 содержат односвязную ферромагнитную фазу, внутри которой расположены антиферромагнитные кластеры *A*-типа и зарядово-упорядоченные, при этом $T_C < T_N < T_{co}$, так что при $T > T_N$ перечисленные выше свойства обусловлены модификацией под действием магнитного поля только зарядово-упорядоченных кластеров. Соединение с $x = 0.33$, в отличие от соединения с $x = 0.4$ и 0.45 , содержит лишь ферромагнитные и антиферромагнитные фазы *A*-типа. Поэтому сравнение свойств соединений с $x = 0.4$ и 0.45 со свойствами соединения с $x = 0.33$ позволило выяснить природу колоссального магнитосопротивления и большой объемной магнитострикции, обнаруженной в них в данной работе, и выявить их особенности, связанные с зарядовым упорядочением. Оказалось, что в соединениях с $x = 0.4$ и 0.45 сразу выше T_C на изотермах намагниченности, объемной магнитострикции и магнитосопротивления сначала наблюдается медленное возрастание с ростом поля и затем большое скачкообразное возрастание в области критических полей от H_{c1} до H_{c2} , величина которых увеличивается с температурой (рис. 3, 4, 7б). С дальнейшим повышением поля указанные изотермы испытывают насыщение. В то же время у соединения с $x = 0.33$ перечисленные выше изотермы имеют плавный характер и не насыщаются вплоть до максимальных полей измерения (рис. 2, 7а).

В соединениях с $x = 0.4$ и 0.45 величина намагниченности после скачкообразного возрастания ста-

новится большой. Например, как видно на рис. 3а, для соединения с $x = 0.45$ при $T = 200$ К ($T_C = 126$ К) она равна $2\mu_B/\text{форм. ед.}$, тогда как при 1.5 К она составляет $3.5\mu_B/\text{форм. ед.}$, что соответствует полному ферромагнитному упорядочению моментов ионов Mn^{3+} и Mn^{4+} при 1.5 К. Отсюда можно сделать заключение, что в соединениях с $x = 0.4$ и 0.45 происходит трансформация зарядово-упорядоченных кластеров именно в ферромагнитное состояние при пороговом поле H_{c1} . Указанный переход зарядово-упорядоченных кластеров в ферромагнитное состояние является аналогом фазового перехода первого рода, так как этот переход имеет скачкообразный характер и в его области наблюдается метастабильность намагниченности, объемной магнитострикции и магнитосопротивления, проявляющаяся в их зависимости от времени и в различии их изотерм, полученных при увеличении и уменьшении поля (рис. 3, 7б).

Как указывалось выше, у соединений с $x = 0.33$, где отсутствуют зарядово-упорядоченные кластеры, рост намагниченности, объемной магнитострикции и магнитосопротивления с полем в районе T_C происходит плавно. При этом составе увеличение объема ферромагнитной фазы происходит за счет уменьшения объема антиферромагнитной фазы A-типа. Антиферромагнитное упорядочение A-типа имеет слоистую структуру, в которой моменты соседних ферромагнитных слоев упорядочены антиферромагнитно. Поэтому увеличение ферромагнитной фазы с полем в соединении с $x = 0.33$ осуществляется путем ее «прорастания» по ферромагнитным плоскостям антиферромагнитной фазы и происходит плавно. В зарядово-упорядоченной фазе спины соседних ионов марганца направлены противоположно и, как показывает наш эксперимент, нужны пороговые поля для перевода зарядово-упорядоченных кластеров в ферромагнитное состояние, при этом зарядово-упорядоченные кластеры при достижении порогового поля полностью переходят в ферромагнитное состояние. Такой переход должен сопровождаться изменением кристаллической структуры в этих кластерах, что должно оказываться на анизотропной магнитострикции. Действительно, как видно на рис. 6в, в этой температурной области происходит изменение знака анизотропной магнитострикции λ_t , которое сопровождается особенностями на кривой $\lambda_t(T)$: в области положительных значений λ_t наблюдается максимум, а в области отрицательных значений λ_t — минимум на указанной кривой. В то же время, для соединения с $x = 0.33$ величина λ_t положительна во всем исследованном интервале темпе-

ратур, включающем температуру Кюри, и быстро убывает до нуля выше T_C (рис. 6б).

Как показано в работах Нагаева [1, 2], Яназе, Каусуя [19], колоссальное магнитосопротивление и большая объемная магнитострикция объясняются возрастанием под действием магнитного поля объема ферромагнитной фазы магнитно-неоднородного образца, в которой сосредоточены носители тока, из-за выигрыша в энергии $s-d$ -обмена. Таким образом, колоссальное магнитосопротивление, большая объемная магнитострикция, излишнее тепловое расширение в районе T_C в образцах с $x = 0.33, 0.4$ и 0.45 системы $\text{Sm}_{1-x}\text{Sr}_x\text{MnO}_3$ объясняются наличием электронного фазового разделения в образце, вызванного сильным $s-d$ -обменом, причем носители заряда сосредоточены в ферромагнитной фазе. При этом присутствие зарядово-упорядоченных кластеров в соединениях с $x = 0.4$ и 0.45 вносит свою специфику в поведение магнитосопротивления и объемной магнитострикции — наблюдаются скачки на их изотермах, связанные с переходом под действием магнитного поля зарядово-упорядоченных кластеров в ферромагнитное состояние.

Показано, что в $\text{Sm}_{1-x}\text{Sr}_x\text{MnO}_3$ при $T > T_C$ кроме колоссального магнитосопротивления, равного при $H = 8.4$ кЭ 83 %, 72 % и 42 % соответственно для соединений с $x = 0.33, 0.4$ и 0.45 , существует еще большая объемная магнитострикция, достигающая $5 \cdot 10^{-4}$ и 10^{-3} при $H = 8.4$ и 50 кЭ. Это вторая система после $\text{La}_{1-x}\text{Sr}_x\text{MnO}_3$, в которой мы обнаружили большую объемную магнитострикцию, сопровождающуюся колоссальным магнитосопротивлением в той же температурной области. Это открывает новые возможности для применения мanganитов в магнетомеханических и сенсорных устройствах.

Авторы благодарны Р. Ибарре (M. R. Ibarra) и К. Маргине (C. Marquina) за помощь, внимание и гостеприимство во время пребывания в университете г. Сарагоссы. Мы благодарим А. Р. Кауля и О. Ю. Горбенко за приготовление образцов и их анализ. Работа выполнена при поддержке РФФИ (проекты 00-15-96695 и 00-02-17810) и грантов INTAS-97-open-30253 и NATO-HTECH LG 972942.

ЛИТЕРАТУРА

1. Э. Л. Нагаев, УФН **166**, 833 (1996).
2. E. L. Nagaev, Phys. Rep. **346**, 381 (2001).

3. E. Dagotto, T. Hotta, and A. Moreo, Phys. Rep. **344**, 1 (2001).
4. C. N. R. Rao, A. K. Cheetham, and R. Mahesh, Chem. Mater. **8**, 2421 (1996).
5. A. P. Ramirez, J. Phys.: Condens. Matter **9**, 8171 (1997).
6. A. Raveau, A. Maignan, C. Martin, and M. Hervieu, Chem. Mater. **10**, 2641 (1998).
7. Л. П. Горьков, УФН **168**, 665 (1998).
8. Y. Tokura and Y. Tamioka, J. Magn. Magn. Mat. **200**, 1 (1999).
9. J. M. D. Coey, M. Viret, and M. von Molnar, Adv. Phys. **48**, 167 (1999).
10. В. М. Локтев, Ю. Г. Погорелов, ФНТ **26**, 231 (2000).
11. Ю. А. Изюмов, Ю. Н. Скрябин, УФН **171**, 121 (2001).
12. М. Ю. Каган, К. И. Кугель, УФН **171**, 577 (2001).
13. Л. И. Королева, Р. В. Демин, А. М. Балбашов, Письма в ЖЭТФ **65**, 449 (1997).
14. R. V. Demin, L. I. Koroleva, and A. M. Balbashov, Phys. Lett. A **231**, 279 (1997).
15. Р. В. Демин, Л. И. Королева, Р. Шимчак, Г. Шимчак, Письма в ЖЭТФ **75**, 402 (2002).
16. A. Abramovich, L. Koroleva, A. Michurin et al., Physica B **293**, 38 (2000).
17. А. И. Абрамович, Л. И. Королева, А. В. Мичурин и др., ФТТ **42**, 1451 (2000).
18. C. Margina, R. Ibarra, A. I. Abramovich et al., J. Magn. Magn. Mat. **226–230**, 999 (2001).
19. A. Yanase and T. Kasuya, J. Phys. Soc. Jap. **25**, 1025 (1968).
20. В. В. Рунов, Д. Ю. Чернышов, А. И. Курбаков и др., ЖЭТФ **118**, 1174 (2000).
21. C. Martin, A. Maignan, M. Hervieu, and Raveau, Phys. Rev. B **60**, 12191 (1999).
22. В. В. Рунов, Х. Глатти, Г. В. Копица и др., Письма в ЖЭТФ **69**, 323 (1999).
23. V. Runov, H. Glattli, G. Kopitsa et al., Physica B **276–278**, 795 (2000).
24. A. M. Glazer, Acta Cryst. **38**, 3384 (1972).
25. К. П. Белов, Л. И. Королева, М. А. Шалимова и др., ЖЭТФ **72**, 1994 (1977).
26. J. Rodriguez-Carvajal, M. Hennion, F. Moussa et al., Phys. Rev. B **57**, R1389 (1998).
27. Y. Tomioka, H. Kuwahara, A. Asamitsu et al., Appl. Phys. Lett. **70**, 3609 (1997).